Д. т. н. **А. В. Хмелёв** (⊠)

Рижский технический университет, Институт силикатных материалов, г. Рига, Латвия

УДК 666.762.11:666.9.022.6

ПЛАЗМЕННО-ИСКРОВОЕ СПЕКАНИЕ ОКСИДНО-БЕЗОКСИДНЫХ КОМПОНЕНТОВ С ДОБАВКОЙ ТВЕРДОГО РАСТВОРА TIC-ZrC И РАЗНЫХ СМЕСЕЙ ПОРОШКОВ МЕТАЛЛОВ

Показано влияние добавки смесей порошков W и Mo, Zr и Ti в сочетании со спеченным твердым раствором TiC-ZrC в ходе плазменно-искрового спекания составов при нагрузке прессования 60 МПа в интервале 1200-1600 °C на фазовый состав, микроструктуру, размеры зерен кристаллических фаз, относительную плотность, линейную усадку, физико-механические свойства, линейную корреляцию модуля упругости и ударной вязкости образцов муллит $-\beta$ -Si $_3N_4-c$ -BN. Синтезированные порошки β -Si₃N₄ и c-BN характеризуются интенсивной кристаллизацией β -Si₃N₄ и c-BN. Спеченный плазменноискровым способом при 1800 °C твердый раствор TiC-ZrC имеет примерно равную кристаллизацию (Zr,Ti)C, (Ti,Zr)C и неоднородную не полностью спекшуюся кристаллическую микроструктуру. Спеченные образцы со смесью W и Mo, Zr и Ti показывают интенсивную муллитизацию, активную кристаллизацию β -Si₃N₄, (Ti,Zr)C, твердых растворов Mo,W и W,Mo, β -Žr,Ti, меньшую кристаллизацию c-BN, (Zr,Ti)C, β-Ti,Zr в интервале 1200–1600 °C. Смесь W и Мо способствует формированию более равномерно и плотно спекшейся микроструктуры керамической фазы, примерно округлой формы частиц твердых растворов Mo,W и W,Mo в металлической фазе, более укрепленных границ областей керамической металлической, металлических фаз и полидисперсного состава зерен кристаллических фаз в диапазоне 1400-1600 °C. В результате состав со смесью W и Мо спекается более равномерно и плавно, соответствующий образец показывает большие значения физико-механических свойств, трещиностойкость, линейную корреляцию модуля упругости и ударной вязкости в интервале 1200-1600 °C.

Ключевые слова: муллит $-\beta$ - Si_3N_4 -c-BN-TiC-ZrC, твердые растворы металлических фаз, плазменно-искровое спекание.

ВВЕДЕНИЕ

Разработка и внедрение в практическое применение плотных, твердых и ударостойких материалов, в частности на основе различных керамических и керамометаллических составов с добавкой порошка металла или смесей порошков металлов, сопряжены с проблемой уплотнения и укрепления пограничной структуры керамических и металлических частиц [1–5]. При спекании керамических составов данная проблема связана с шириной пограничного слоя, фазовой трансформацией, например *c*-BN → *h*-BN в пограничном слое, и его свойствами [1, 3]. В ходе спекания керамометаллических составов указанная проблема обусловлена совокупностью и сложно-

 \bowtie

A. B. Хмелёв E-mail: aleksejs.hmelov44@gmail.com стью процессов (реакций), разновидностью кристаллических фаз и различиями микроструктур пограничных слоев областей керамических и металлических фаз [4, 5]. Это требует акцентирования внимания на взаимодействии, механизмах спекания частиц керамических и металлических порошков, формировании микроструктур и развитии свойств пограничных слоев областей керамических и металлических фаз материалов [4, 5]. Процессы и свойства микроструктур пограничных слоев определяют соотношение хрупких и упругих свойств, сопротивление трещинообразованию, значения модуля упругости, ударной вязкости, твердости и, как результат, разрушение или сохранение целостности керамометаллических материалов [1-5].

Образование менее плотного (хрупкого) и более широкого промежуточного слоя h-BN замедляет диффузионные процессы на пограничных участках спекаемых керамических частиц, вызывает неравномерное спекание, охрупчивание пограничной структуры керамических частиц с

развитием разных траекторий и длин микротрещин в данной пограничной структуре [1, 3].

В ходе спекания керамометаллического состава разноообразие и сложность происходящих реакций тем выше, чем активнее развито жидкофазное спекание данного состава, например смеси безоксидных компонентов WC и ZrC с добавкой никеля [6]. Так, при растворении WC и ZrC в расплаве никеля образуются твердые растворы металлических фаз разных состава и стехиометрии. Влияние этих фаз на свойства пограничных слоев сильно зависит от процентного содержания в спекаемой смеси конкретного компонента [6]. Реакции в ходе твердофазного спекания керамометаллических составов более простые, в частности при спекании смесей безоксидных компонентов и порошков тугоплавких металлов Мо. Ті и W. где добавка металла частично восстанавливает безоксидные компоненты с превращением Мо, Ті и W в соответствующие безоксидные соединения [4, 5, 7, 8]. Безоксидные соединения Мо и Ті в большей степени уплотняют и укрепляют структуру пограничных слоев областей керамических и металлических фаз, чем безоксидные соединения W [4, 5, 7, 8].

Решением указанных проблем служит получение твердого раствора TiC-ZrC в ходе плазменно-искрового спекания смеси оксидного и безоксидного порошков [9], а также добавление в спекаемые керамические составы спеченного твердого раствора TiC-ZrC [10]. Однако данные механизмы уплотнения и укрепления структуры пограничных слоев керамических фаз реализуются через твердофазное спекание [9, 10]. Более эффективным решением названных проблем является спекание керамометаллического состава, например ZrC и Мо в интервале 1850-1950 °С при нагрузке прессования ~8 ГПа, в ходе которого развивается эвтектическая реакция благодаря вязкому течению порошка Мо, стимулирующему активную интеркаляцию Мо в структуру ZrC с образованием в основном твердого раствора (Zr,Mo)С [11]. Однако частично формируется кристаллическая фаза МоС, которая является продуктом неполного встраивания Мо в структуру ZrC в ходе частичного твердофазного спекания [11]. В целом данное спекание

Таблица 1. Характеристика исходных компонентов

Получаемый порошок	Исходные компоненты	Производитеь	Степень чистоты, %
β-Si ₃ N ₄	SiO ₂ /N ₂	Merck, Германия	99,5
c-BN	B_2O_3/N_2	Aldrich, Бельгия	99,0
TiC	TiO ₂ /C	Merck, Германия	99,5/
		/ Aldrich, Бельгия	98,0
ZrC	ZrO ₂ /C	Aldrich, Бельгия/	99,5/
		Aldrich, Бельгия	98,0
W	W	Merck, Германия	99,5
Mo	Mo	Aldrich, Бельгия	99,0
Zr	Zr	Aldrich, Бельгия	99,0
Ti	Ti	Merck, Германия	99,5

способствует равномерным, полным диффузионным процессам и формированию плотных, узких пограничных слоев на границах спекаемых частиц керамических и металлических порошков в структуре материала [11].

Цель работы — изучение влияния смесей порошков W и Mo, Zr и Ti в сочетании со спеченным твердым раствором TiC-ZrC в ходе плазменно-искрового спекания составов с нагрузкой прессования 60 МПа в интервале $1200-1600~^{\circ}$ C на фазовый состав, микроструктуру, размеры зерен кристаллических фаз, относительную плотность, линейную усадку, физико-механические свойства и линейную корреляцию модуля упругости и ударной вязкости муллит- β -Si₃N₄-c-BN-образцов.

ЭКСПЕРИМЕНТАЛЬНАЯ ЧАСТЬ

Для приготовления смеси порошков Al_2O_3 и SiO_2 использовали Al_2O_3 (Aldrich, Бельгия, чистота 97,5 %) и SiO_2 (Merck, Германия, чистота 97,5 %). Данные компоненты взвешивали в весовой пропорции, отвечающей стехиометрии муллита, равной 3:2, перемешивали в планетарной мельнице (RETSCH PM 400) в течение \sim 10 мин.

Синтез порошков β -Si $_3$ N $_4$ и c-BN проводили в плазмохимической установке в вакууме при $1600\,^{\circ}$ С в течение 1 ч с использованием исходных компонентов (табл. 1). Синтез β -Si $_3$ N $_4$ и c-BN проводили по реакциям:

$$3SiO_2 + 3.5N_2 \rightarrow \beta - Si_3N_4 + 3NO_2,$$
 (1)

$$2B_2O_3 + 3.5N_2 \rightarrow 4c\text{-BN} + 3NO_2.$$
 (2)

Спеченный твердый раствор TiC-ZrC получали плазменно-искровым способом в вакууме при 1800 °C с нагрузкой прессования 70 МПа в течение 5 мин с использованием TiC и ZrC в соотношении, указанном ниже:

Состав	60TiC-40ZrC
Масса компонентов (TiC, мол. % / ZrC, п	мол. %),
г на 100 г смеси	46,73/53,27
Соотношение TiC/ZrC	1/1.14

Спеченный твердый раствор TiC-ZrC измельчали в планетарной мельнице (RETSCH PM 400) в течение 30 мин до получения порошка с размерами частиц от 5 до 10 мкм.

Порошки β -Si₃N₄, c-BN и твердого раствора TiC–ZrC со смесью добавок W и Mo, Zr и Ti перемешивали в весовых пропорциях (табл. 2) в планетарной мельнице (RETSCH PM 400) в течение \sim 10 мин.

Полученную смесь порошков Al_2O_3 и SiO_2 перемешивали с приготовленными двумя группами смесей порошков: β - Si_3N_4/c -BN/TiC-ZrC/W/Mo и β - Si_3N_4/c -BN/TiC-ZrC/Zr/Ti в планетарной мельнице (RETSCH PM 400) в течение ~10 мин.

Полученные смеси компонентов насыпали в графитовую пресс-форму диаметром 30 мм и спекали плазменно-искровым методом (SPS, Summimoto, model SPS 825. CE, Dr. Sinter, Japan) в

Таблица 2. Пропорции компонентов в исходных смесях порошков

Tability of the second				
Показатели	M20Si ₃ N ₄ 5BN20W20Mo35(60TiC-40ZrC)	$M20Si_3N_45BN20Zr20Ti35(60TiC-40ZrC)$		
Масса компонентов, г на 100 г смеси:				
20 мол. % β-Si ₃ N ₄ / 5 мол. % <i>c</i> -BN / 20 мол. %	24,96/1,07/32,63/17,12/24,22	_		
W / 20 мол. % Mo / 35 мол. % (60TiC-40ZrC)				
20 мол. % β-Si ₃ N ₄ / 5 мол. % <i>c</i> -BN / 20 мол. %	_	33,12/1,42/21,52/11,36/32,58		
Zr / 20 мол. % Ti / 35 мол. % (60TiC-40ZrC)				
Соотношение 3Al ₂ O ₃ ·2SiO ₂ / β-Si ₃ N ₄ / <i>c</i> -BN / W /	4/93,45/3,06/5,84/4,12	3,02/70,4/4,64/8,8/3,07		
Mo / 60TiC-40ZrC, 3Al ₂ O ₃ ·2SiO ₂ / β-Si ₃ N ₄ / c-BN /				
Zr / Ti / 60TiC-40ZrC				
* Масса компонентов (3Al ₂ O ₃ /2SiO ₂) составляет 71,8/28,2 на 100 г смеси.				

вакууме (6 Па), с нагрузкой прессования 60 МПа и выдержкой 2 мин в диапазоне $1200-1600~^{\circ}$ С со скоростью нагрева $100~^{\circ}$ С/мин.

Фазовый состав синтезированных порошков и спеченных образцов определяли с помощью рентгенофазового анализа (PANAlytical X'Pert PRO) с Си K_{α} -излученим, с интервалом сканирования $2\theta=10-60^{\circ}$ и со скоростью вращения гониометра 2 град/мин.

Микроструктуру спеченных образцов, относительную плотность $\rho_{\text{отн}}$, линейную усадку Δl , открытую пористость ϕ , модуль упругости E, твердость по Виккерсу HV, ударную вязкость $K_{\text{I}c}$ определяли методами, описанными в статье [8]. Теоретическая плотность компонентов, г/см³: муллит 3,17, β -Si₃N₄ 3,17, ϵ -BN 3,49, \hbar -BN 2,1, W 19,3, Mo 10,28, Zr 6,52, Ti 4,5, TiC 4,93, ZrC 6,73.

РЕЗУЛЬТАТЫ И ИХ ОБСУЖДЕНИЕ

Фазовый состав синтезированных порошков β -Si $_3$ N $_4$ и c-BN представлен в основном интенсивными дифракционными максимумами β -Si $_3$ N $_4$ и c-BN с незначительным количеством менее интенсивных дифракционных максимумов α -Si $_3$ N $_4$ (рис. 1).

Рентгенограмма спеченного твердого раствора TiC-ZrC представлена почти равноинтенсивными дифракционными максимумами (Zr,Ti) С и (Ti,Zr)С, при этом интенсивность дифракционных максимумов (Zr,Ti)С немного больше, чем интенсивность (Ti,Zr)С (рис. 2). В целом это объ-

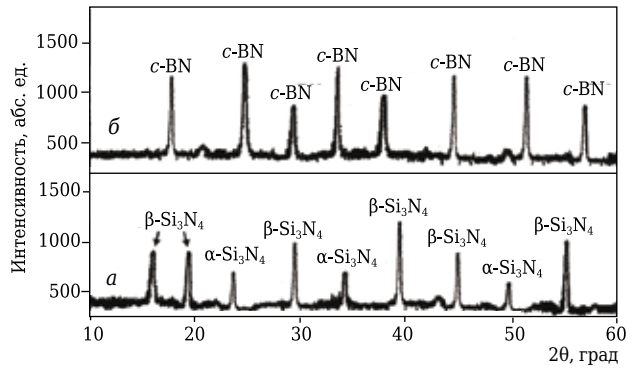


Рис. 1. Фазовый состав порошков β -Si₃N₄ (a) и c-BN (δ), синтезированных плазмохимическим способом при 1600 °C: β -Si₃N₄ — нитрид кремния; c-BN — кубический нитрид бора

ясняется примерно равным встраиванием (интеркаляцией) катионов Ti⁴⁺ в структуру ZrC и катионов Zr^{4+} в структуру TiC, как результат, более полным и примерно схожим структурированием твердых растворов в твердой фазе при нагрузке прессования 70 МПа. Большая развитость структурных процессов формирования кристаллической (Zr.Ti)С-фазы обусловлена интенсивным встраиванием малого катионного радиуса Ti⁴⁺ в плотную (кубическую) структуру ZrC. В свою очередь, структурные процессы образования кристаллической (Ti,Zr)С-фазы менее развиты. Это обусловлено менее активным встраиванием Zr⁴⁺ большего катионного радиуса в плотную (кубическую) структуру ТiC. Влияние размеров катионных радиусов Ti⁴⁺ и Zr⁴⁺ пропорционально развитию кристаллических (Zr,Ti)C-, (Ti,Zr)Cфаз и соответствует соотношению TiC и ZrC (см. табл. 2) в отличие от соотношений TiC и ZrC, при которых различие катионных радиусов Ті⁴⁺ и Zr^{4+} обратно развитию твердых растворов [10].

Микроструктура спеченного твердого раствора TiC-ZrC кристаллическая, неоднородная и не полностью спекшаяся с наличием пор разных размеров в кристаллической области (Zr,Ti)C, в которой заметны плотно спекшиеся (Ti,Zr)C-частицы с кристаллической областью (Zr,Ti)C (рис. 3). Такая микроструктура объясняется развитой кристаллизацией фазы (Zr,Ti)C (см. рис. 2) и вызванным данным процессом замедлением твердофазного спекания в кристаллической области (Zr,Ti)C, частично на границах зерен (Zr,Ti)C и (Ti,Zr)C, менее развитой кристаллической фазой (Ti,Zr)C (см. рис. 2). В результате снижается уплотняющий и укрепляющий эффект частиц (Ti,Zr)C

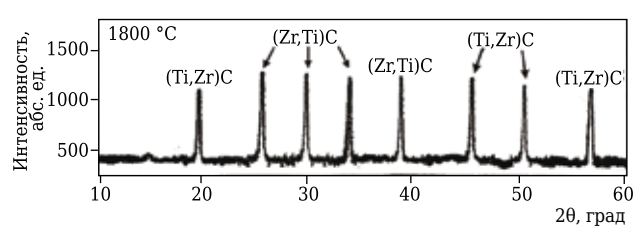


Рис. 2. Фазовый состав твердого раствора TiC–ZrC с соотношением 60TiC–40ZrC, спеченного плазменно-искровым способом при 1800 °C: (Zr,Ti)C — твердый раствор карбида титана; (Ti,Zr)C — твердый раствор карбида циркония

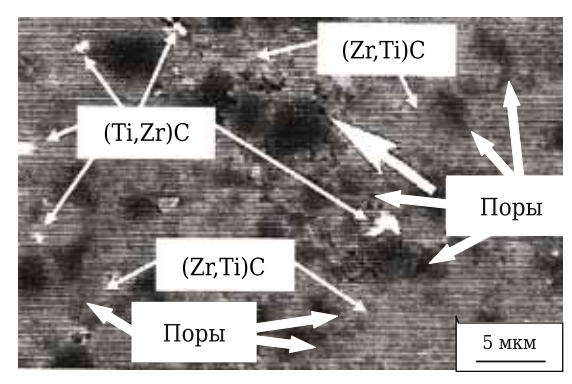


Рис. 3. Микроструктура твердого раствора TiC–ZrC с соотношением 60TiC–40ZrC, спеченного плазменно-искровым способом при 1800 °C

на формирующуюся кристаллическую область (Zr,Ti)C, незначительно на границах зерен (Zr,Ti)C и (Ti,Zr)C. Образование плотно спекшихся частиц (Ti,Zr)C с кристаллической областью (Zr,Ti)C связано с более развитыми диффузионными процессами на границах зерен (Zr,Ti)C и (Ti,Zr)C. Это объясняется плотной компоновкой спекаемых частиц TiC и ZrC, в результате активнее спекаются данные частицы и уплотняется структура по сравнению с формированием (Zr,Ti)C на пограничных участках спекаемых частиц TiC и ZrC, значительно снижая хрупкость и развивая

упругие свойства на границах кристаллической области (Zr,Ti)C и частиц (Ti,Zr)C.

Фазовый состав образцов, спеченных из смесей исходных компонентов плазменно-искровым методом в диапазоне 1200-1600 °C, показан на рис. 4.

Образцы со смесью W и Mo, Zr и Ti характеризуются интенсивной муллитизацией в интервале 1200-1600 °C. Это обусловлено активным структурированием муллита в ходе взаимодействия Al₂O₃ и SiO₂ и формированием его стехиометрического состава. В образцах заметна примерно равная кристаллизация β -Si₃N₄ и c-BN до 1400 °С, кристаллическая фаза В-Si₃N₄ активнее развивается в интервале 1400-1600 °C. Это объясняется менее плотной (гексагональной) структурой β-Si₃N₄ в отличие от плотной (кубической) структуры c-BN, способствуя более активной диффузии в B-Si₃N₄. При этом прирост кристаллических фаз β -Si₃N₄ и c-BN менее интенсивный по сравнению с развитием муллита. Это обусловлено более плотными структурами β -Si₃N₄ и c-BN с выраженными в c-BN ковалентными связями, развитым структурированием β -Si₃N₄ и c-BN в твердой фазе. В образцах заметно некоторое формирование h-BN и связанное с этим уменьшение развития c-BN в интервале 1400–1600 °C. Это связано с частичной фазовой трансформацией $c\text{-BN} \rightarrow h\text{-BN}$ в твердой фазе. Взаимодействия

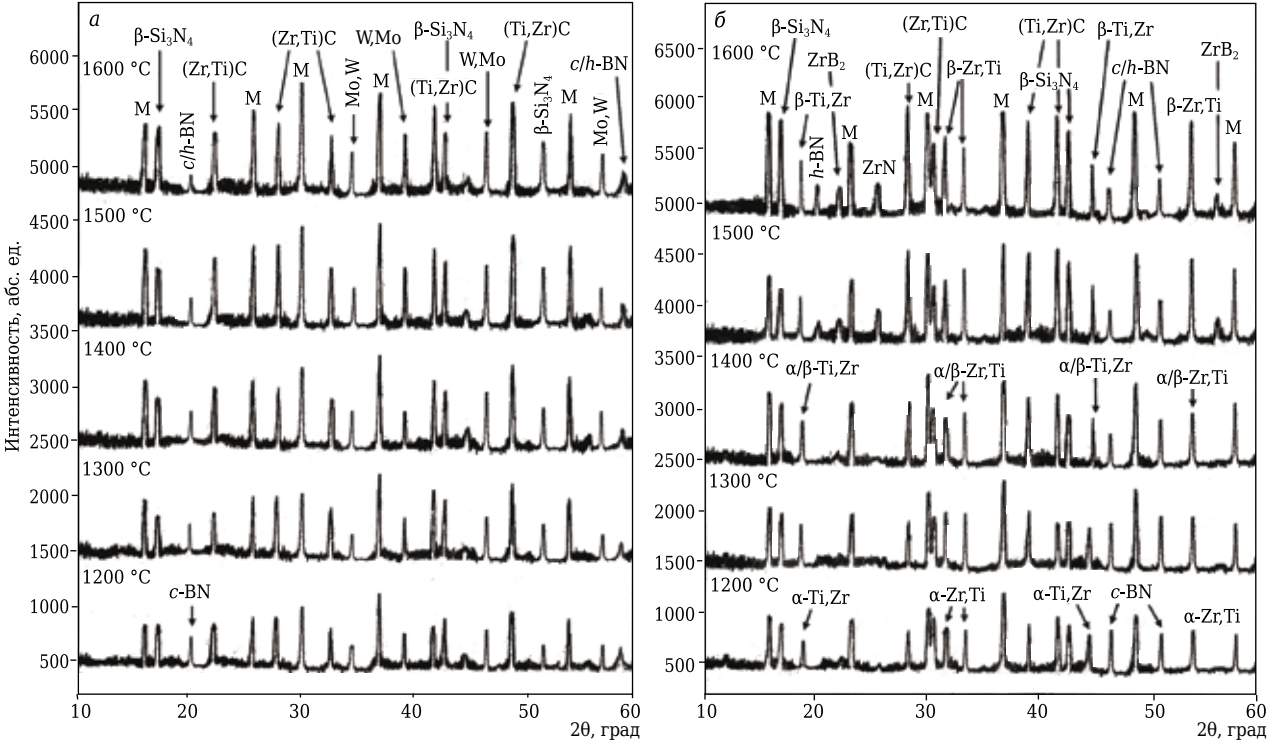


Рис. 4. Фазовый состав образцов составов M20Si₃N₄5BN20W20Mo35(60TiC-40ZrC) (a) и M20Si₃N₄5BN20Zr20Ti35(60TiC-40ZrC) (b), спеченных в диапазоне 1200–1600 °C: М — муллит (3Al₂O₃·2SiO₂); β-Si₃N₄ — нитрид кремния; b-BN — кубический нитрид бора; b-BN — гексагональный нитрид бора; (Zr,Ti)C — твердый раствор карбида титана; (Ti,Zr)C — твердый раствор карбида циркония; a-Zr,Ti — твердый раствор тетрагонального титана; a-Zr,Ti — твердый раствор кубического титана; a-Ti,Zr — твердый раствор кубического циркония; (Mo,W), (W,Mo) — твердые растворы вольфрама и молибдена; a-Zr, a-Zr

 β - $\mathrm{Si}_3\mathrm{N}_4$ и c-BN не наблюдается. На это указывает отсутствие продуктов реакции, в частности химических соединений (кристаллических фаз) и твердых растворов. Как результат, на рентгенограммах образцов не образуются дополнительные и отсутствуют смещения, изменения форм (сужение или расширение) дифракционных максимумов β - $\mathrm{Si}_3\mathrm{N}_4$ и c-BN. Таким образом, β - $\mathrm{Si}_3\mathrm{N}_4$ не влияет на частичную фазовую трансформацию c-BN \rightarrow h-BN в интервале 1400–1600 °C.

В данных образцах наблюдается различное структурирование твердых растворов (Zr,Ti)С и (Ti,Zr)С с большим приростом кристаллической фазы (Ti,Zr)С в интервале 1200–1600 °С. Большее развитие кристаллической фазы (Ti,Zr)С обусловлено более плотной структурой ZrС в составе (Ti, Zr)С, что активнее и полнее стимулирует твердофазное структурирование кристаллической фазы (Ti,Zr)С в отличие от менее интенсивного развития кристаллической фазы (Zr,Ti)С в интервале 1200–1600 °С. В обоих случаях развиваются стабильные твердые растворы, не подверженные распаду в интервале 1200–1600 °С. Таким образом, отсутствует ряд побочных процессов и вызванных ими эффектов в структурах твердых растворов [10].

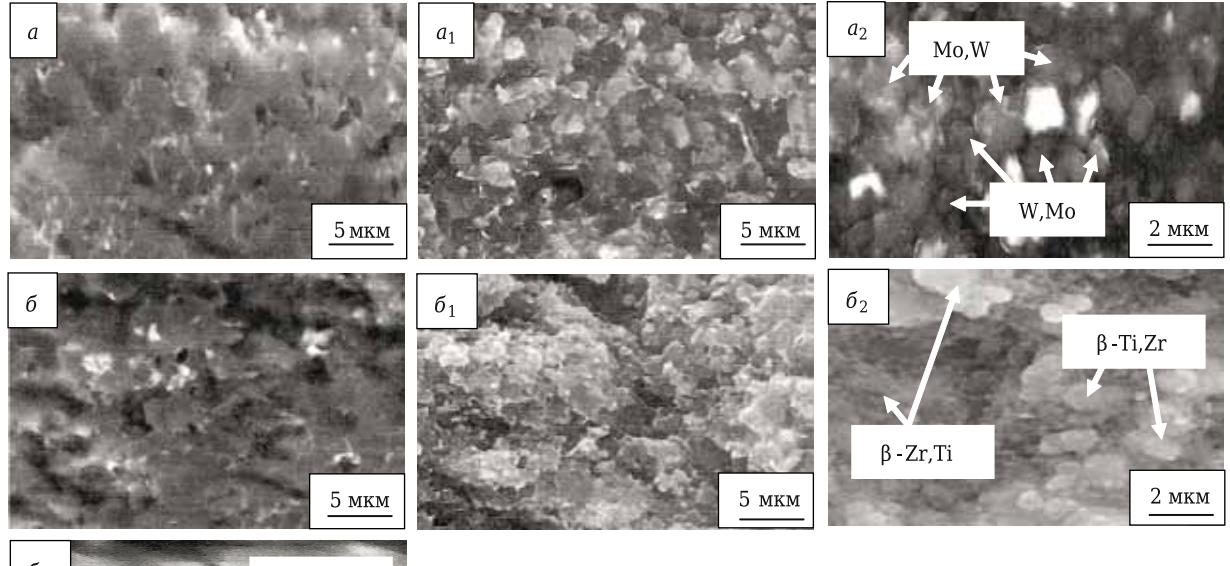
Одновременно в образце со смесью W и Мо наблюдается развитие стабильных твердых растворов W, Мо и Мо, W в металлической фазе, и прирост данных кристаллических фаз примерно схож в интервале 1200–1600 °С. Это указывает на одинаково активное и равномерное твердофазное растворение W в структуре Мо и наоборот благодаря схожим размерам катионных радиусов W и Мо. В образце отсутствуют фазовые трансформации данных твердых растворов. Эти результаты соответствуют области неограниченной твердофазной растворимости непрерывных твердых растворов в двухфазовой системе равновесия диаграммы W-Мо [12].

В образце со смесью Zr и Тi до 1400 °C наблюдаются менее интенсивные дифракционные максимумы тетрагональных структур твердых растворов α-Zr,Ti и α-Ti,Zr. Это связано с низкой взаимной растворимостью Ті и Zr и слабой кристаллизацией данных кристаллических фаз в твердой фазе. Однако при 1400 °C взаимное растворение этих компонентов возрастает с инициацией образования плотных (кубических) структур твердых растворов β-Zr,Тi и β-Ti,Zr. Развитие β-Zr,Ti больше по сравнению с увеличением β-Ti,Zr. Это объясняется более активным и полным твердофазным растворением Ті в структуре Zr в отличие от обратного процесса благодаря значительно меньшему размеру катионного рапиуса Ті по сравнению с Zr. Выше 1400 °С активизируется твердофазное растворение Ti в α/β-Zr,Ti и Zr в α/β-Ti,Zr с насыщением и перестраиванием менее плотных в более плотные структуры твердых растворов кристаллических фаз при нагрузке прессования 60 МПа. Данные процессы способствуют фазовым трансформациям α-Zr,Ti → β-Zr,Ti и α -Ti,Zr \rightarrow β -Ti,Zr. Это соответствует области неограниченной твердофазной растворимости непрерывных твердых растворов в двухфазовой системе равновесия диаграммы Zr-Ti [13]. В результате заметно существенное различие интенсивностей дифракционных максимумов β-Zr,Ti и β-Ti,Zr. Дифракционные максимумы β-Zr,Ti более узкие и интенсивные в отличие от β-Ti,Zr в интервале 1400-1600 °C. Это связано соответственно с большим твердофазным растворением Ti в β-Zr,Ti, чем Zr в β-Ti.Zr и с более развитым твердофазным структурированием β-Zr,Ti. Менее активное развитие β-Ti,Zr связано с взаимодействием кристаллических фаз β -Ti,Zr, β -Si₃N₄ и h-BN с образованием побочных кристаллических фаз ZrB2 и ZrN разной интенсивности в интервале 1500-1600 °C.

В целом не отмечено взаимодействия муллита, β -Si $_3$ N $_4$ и c-BN со смесями порошков W и Mo, Zr и Ti, а также с их твердыми растворами в интервале $1200-1600~^{\circ}$ C.

Микроструктура спеченных плазменноискровым способом при 1500 °C образцов показана на рис. 5.

Микроструктура образца со смесью W и Mo более равномерно спекшаяся с меньшими количеством и размерами пор (см. рис. 5, а), чем микроструктура образца со смесью Zr и Ti, частично состоящая из отдельных различно спекшихся агломератов (см. рис. 5, б). Это связано с разным влиянием диффузионных процессов в металлических фазах смесей W и Mo, Zr и Ti на спекание основных компонентов. Микроструктура керамической фазы образца со смесью W и Mo более равномерно и плотно спекшаяся с небольшим количеством пор (см. рис. 5, a_1) в отличие от микроструктуры керамической фазы образца со смесью Zr и Ti, состоящей из отдельных, различно агломерированных областей частиц β -Si₃N₄, c-BN, (Ti,Zr)C, (Zr,Ti)С и пор больших размеров (см. рис. 5, δ_1). Данные особенности микроструктуры обусловлены интенсивными диффузионными процессами в ходе образования β -Zr,Ti в металлической фазе (см. рис. 5, δ_3), снижающими активность твердофазного спекания на границах контактов частиц исходных компонентов и усиливающими влияние пограничных слоев h-BN, (Zr,Ti)С на замедление твердофазного спекания частиц. Уменьшение интенсивности твердофазного спекания связано с активной диффузией катионов Ті через менее плотные структуры пограничных слоев h-BN и (Zr,Ti)C с образованием плотной структуры разной ширины промежуточного слоя β-Zr,Ti на границах спекаемых частиц и пограничных участках областей кристаллических фаз, а замедление твердофазного спекания обусловлено образованием промежуточных слоев h-BN, (Zr,Ti)С и β -Zr,Ti на границах спекаемых частиц и пограничных участках областей кристаллических фаз (рис. 6,



 β - Zr,Ti β - Ti,Zr 2 mkm

Рис. 5. Микроструктура образцов M20Si₃N₄5BN20W20Mo35(60TiC-40ZrC) (a — общий вид; a_1 — керамическая фаза; a_2 — металлическая фаза с содержанием твердых растворов (Mo,W) и (W,Mo) и M20Si₃N₄5BN20Zr20Ti35(60TiC-40ZrC) (δ — общий вид; δ_1 — керамическая фаза; δ_2 , δ_3 — металлическая фаза с содержанием твердых растворов β -Zr,Ti и β -Ti,Zr), спеченных при 1500 °C

 $\delta_2 - \delta_5$). Это влияет на развитие спекания состава со смесью Zr и Ti (рис. 7).

Микроструктура металлических фаз, в частности твердых растворов Мо,W и W,Mo, представлена относительно равномерно и плотно спекшимися кристаллическими частицами твердых растворов Mo,W и W,Mo примерно округлой формы с размерами 2-3 мкм (см. рис. 5, a_2). Частицы твердого раствора Мо, W более плотно спекшиеся и немного агломерированы, в отличие от менее спекшихся индивидуальной формы частиц твердого раствора W,Mo, между которыми заметны отдельные поры разных размеров. Это связано с немного меньшим катионным радиусом W по сравнению с Мо, следовательно, более активной диффузией и встраиванием катионов W в структуру Мо. В целом микроструктура твердых растворов Мо,W и W,Mo относительно спекшаяся и плотная, что объясняется равноинтенсивным и полным формированием данных твердых растворов (см. рис. 4, а), стимулирующим равномерное твердофазное спекание данного состава (см. рис. 7).

Микроструктуры металлических фаз β -Ti,Zr и β -Zr,Ti существенно различаются (см. рис. 5, δ_2 , δ_3). Так, микроструктура фазы β -Ti,Zr представлена относительно равномерно и плотно спеченными кристаллическими формированиями β -Ti,Zr с размерами 2–3 мкм и отдельными, плотно спеченными β -Zr,Ti с размерами до 3,0–3,5 мкм (см. рис. 5, δ_2). Однако микроструктура фазы β -Zr,Ti состоит из слабо спекшихся, монолитных, плотных кристаллических формирований β -Zr,Ti

размерами 5–10 мкм и различно спеченных β -Zr,Ti и β -Ti,Zr (см. рис. 5, δ_3). Таким образом, кристаллические формирования β -Zr,Ti более твердые структуры по сравнению с β -Ti,Zr. Такая разница микроструктур объясняется значительно меньшим размером катионного радиуса Тi по сравнению с Zr, что обуславливает более активное и полное твердофазное растворение Ti в структуре α/β -Zr, Ti (см. рис. 4, a) по сравнению с менее развитым твердофазным растворением Zr в структуре α/β -Ti,Zr (см. рис. 4, δ).

Размер зерен кристаллических фаз в интервале 1400–1600 °С, ротн, Δl в диапазоне 1200–1600 °С, микроструктура границ областей оксидных и безоксидных кристаллических фаз при 1500 °С, физико-механические свойства в интервале 1200–1600 °С и фото отпечатков вдавливания при 1500 °С образцов со смесью W и Mo, Zr и Ti показаны на рис. 6–10.

Изменение $\rho_{\text{отн}}$ и Δl образца со смесью W и Мо равномерное и плавное в интервале $1200-1600\,^{\circ}\text{C}$. Это обусловлено равноинтенсивной кристаллизацией твердых растворов Мо,W и W,Mo, примерно равным твердофазным структурированием кристаллических фаз (Zr,Ti)C и (Ti,Zr)C (см. рис. 4, a), формированием в целом равномерной, плотно спекшейся микроструктуры (см. рис. 5, a), относительно плотных микроструктур керамической и металлической фаз (см. рис. 5, a_1 , a_2), возрастанием спекания порошка твердого раствора TiC-ZrC с заполнением пор в неоднородно спекшейся области (Zr,Ti)C (см. рис. 3) и разви-

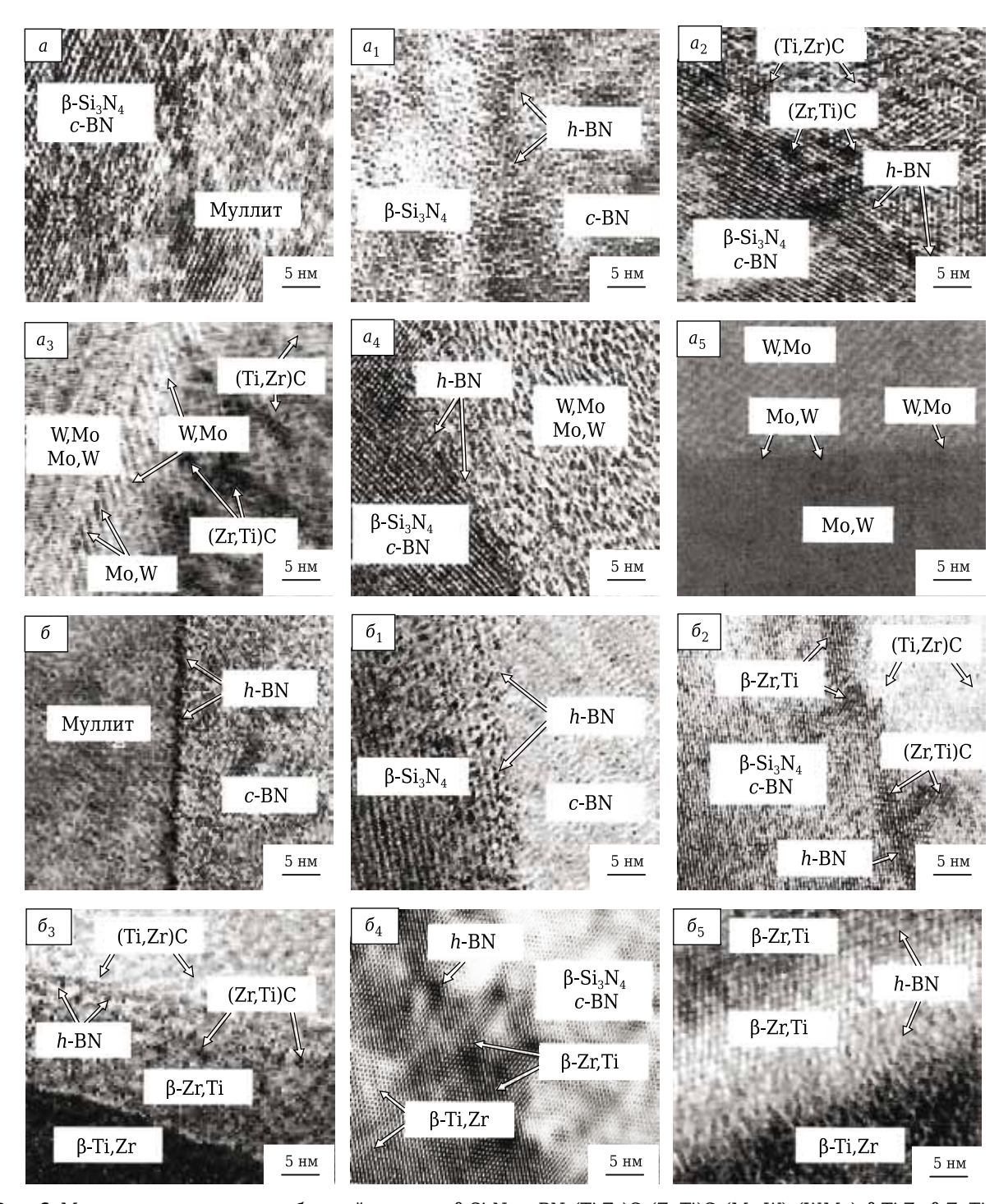


Рис. 6. Микроструктуры границ областей муллита, β -Si₃N₄, c-BN, (Ti,Zr)C, (Zr,Ti)C, (Mo,W), (W,Mo), β -Ti,Zr, β -Zr,Ti образцов M20Si₃N₄5BN20W20Mo35(60TiC-40ZrC) (a-a₅) и M20Si₃N₄5BN20Zr20Ti35(60TiC-40ZrC) (δ - δ ₅), спеченных при 1500 °C

тием полидисперсного состава зерен кристаллических фаз в интервале $1400-1600~^{\circ}$ С (см. рис. 8). Данный образец показывает значения $\rho_{\text{отн}}$ 90 и 91,5 % в диапазоне $1500-1600~^{\circ}$ С. Это связано с развитым твердофазным спеканием мелкодисперсных частиц β -Si $_3$ N $_4$ и c-BN, твердых растворов (Ti,Zr)С, Мо,W и W,Мо, стимулирующих активное и более равномерное заполнение пор в интервале $1500-1600~^{\circ}$ С.

Образец со смесью Zr и Ti показывает неоднородный рост $\rho_{\text{отн}}$ и Δl в интервале $1200-1600\,^{\circ}$ С. Рост спекания состава со смесью Zr и Ti наблюдается до $1400\,^{\circ}$ С и снижается в диапазоне $1400-1600\,^{\circ}$ С. Увеличение $\rho_{\text{отн}}$ и Δl образца до $1400\,^{\circ}$ С объясняется твердофазным развитием кристаллических фаз α -Zr,Ti, α -Ti,Zr и α -BN (см. рис. 4, δ), инициацией спекания порошка твердого раствора TiC–ZrC и формированием относительно по-

лидисперсного состава зерен кристаллических фаз при $1400\,^{\circ}\mathrm{C}$ (см. рис. 8). Уменьшение $\rho_{\text{отн}}$ и Δl образца в интервале $1400-1600\,^{\circ}\mathrm{C}$ связано с активным твердофазным развитием кристаллической фазы β -Zr,Ti (см. рис. 4, δ), формированием в целом неоднородно спекшейся микроструктуры (см. рис. 5, δ), различно агломерированной микроструктуры керамической фазы (см. рис. 5, δ 1), слабо спекшимися, монолитными, плотными кристаллическими формированиями β -Zr,Ti в

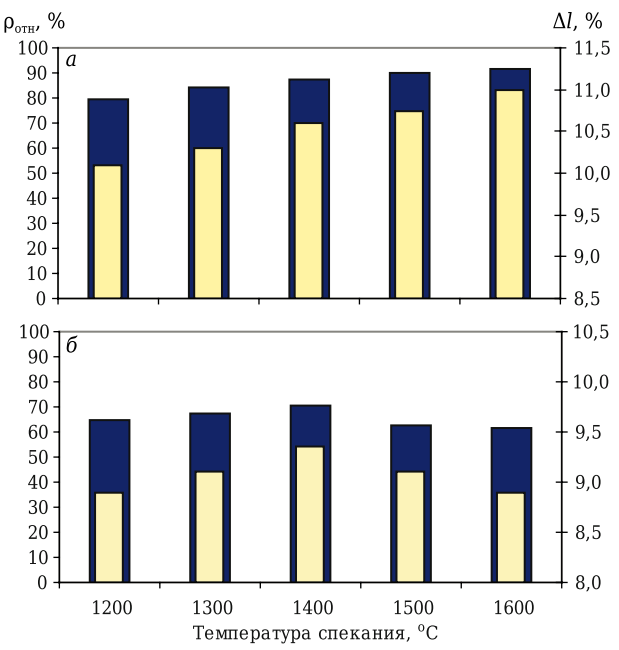


Рис. 7. Изменение $\rho_{\text{отн}}$ (**m**) и Δl (\square) образцов $M20\mathrm{Si}_3\mathrm{N}_45\mathrm{BN}20\mathrm{W}20\mathrm{Mo}35(60\mathrm{TiC}-40\mathrm{ZrC})$ (a) и $M20\mathrm{Si}_3\mathrm{N}_45\mathrm{BN}20\mathrm{Zr}20\mathrm{Ti}35(60\mathrm{TiC}-40\mathrm{ZrC})$ (δ) в интервале 1200-1600 °C

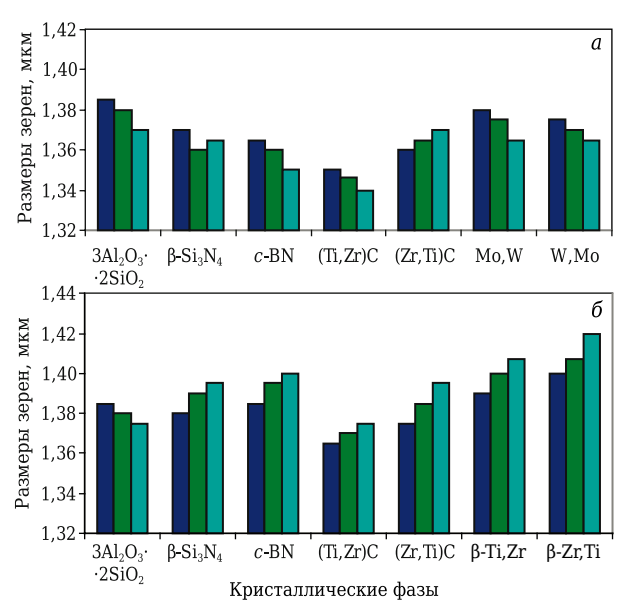


Рис. 8. Размеры зерен кристаллических фаз образцов M20Si₃N₄5BN20W20Mo35(60TiC-40ZrC) (*a*) и M20Si₃N₄5BN20Zr20Ti35(60TiC-40ZrC) (*б*) в интервале 1400-1600 °C: ■ — 1400 °C; ■ — 1500 °C; ■ — 1600 °C

металлической фазе (см. рис. 5, δ_3) и развитием монодисперсного состава зерен кристаллических фаз с увеличением размеров зерен β -Si $_3$ N $_4$, c-BN, (Zr,Ti)C, β -Ti,Zr, β -Zr,Ti в интервале 1400-1600 °C (см. рис. 8). Влияние кристаллической фазы β -Zr,Ti на снижение спекания данного состава обусловлено образованием плотной структуры разной ширины промежуточного слоя β -Zr,Ti на пограничных участках спекаемых частиц (см. рис. 6, δ_2 - δ_5), замедляющего диффузию вещества между спекаемыми частицами, заполнение пор и снижающего спекание порошка твердого раствора TiC–ZrC.

Изменение физико-механических свойств образцов соответствует спеканию данных составов в интервале 1200-1600 °C. Рост упругих свойств образца со смесью W и Мо равномерный и интенсивный, что коррелирует с изменением $K_{\rm Ic}$ и HV образца в диапазоне 1200-1600 °C. Прирост $K_{\rm Ic}$ немного больше увеличения HV образца со смесью W и Мо. В целом данные результаты образца со смесью W и Мо обусловлены равноинтенсивным и полным формированием твердых растворов Мо,W и W,Mo (см. рис. 4, a), способствующим развитию равномерно и плотно спек-

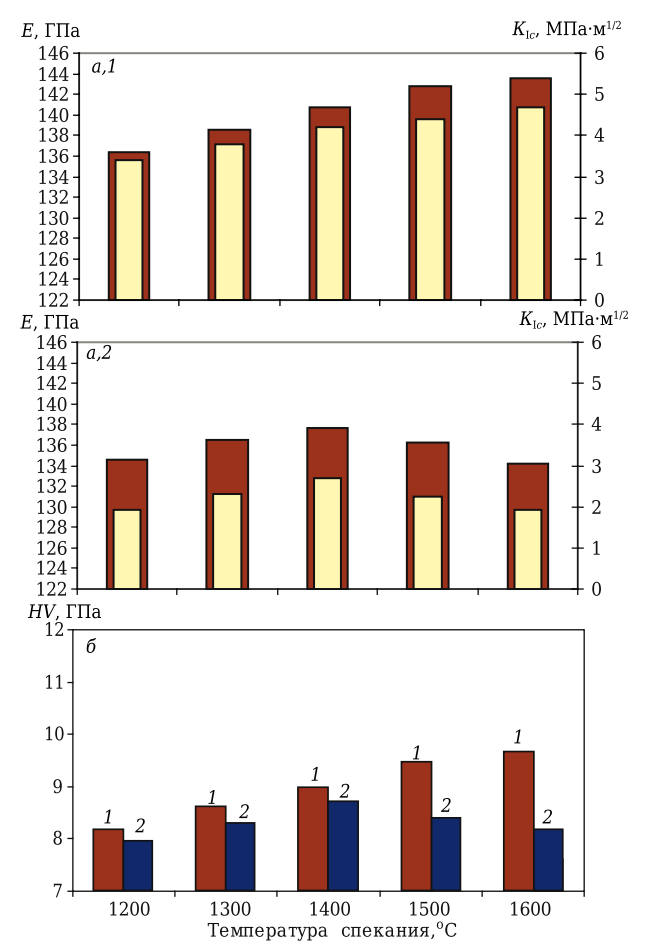


Рис. 9. Изменение E и K_{lc} (a, \blacksquare и \square соответственно), а также HV (δ) образцов M20Si₃N₄5BN20W20Mo35(60TiC-40ZrC) (1) и M20Si₃N₄5BN20Zr20Ti35(60TiC-40ZrC) (2) в интервале 1200–1600 °C

шейся микроструктуры керамической фазы (см. рис. 5, a_1), образованию относительно равномерно и плотно спекшихся кристаллических частиц твердых растворов Мо, W и W, Мо примерно округлой формы в металлической фазе (см. рис. 5, a_2), формированию полидисперсного состава зерен кристаллических фаз (см. рис. 8), возрастанию спекания порошка твердого раствора TiC-ZrC с заполнением пор в неоднородно спекшейся области (Zr,Ti)C (см. рис. 3). В результате данных процессов уплотняется и укрепляется граница областей кристаллических фаз и твердых растворов W.Mo и Mo.W со слабо заметными пограничными слоями h-BN (см. рис. 6, a-a₅). При этом пограничные слои твердого раствора W, Мо более узкие с отдельными прерывистыми участками пограничных слоев твердого раствора Мо, W (см. рис. 6, a_3 , a_5). Одновременно пограничные слои твердых растворов W, Мо и Мо, W по-разному укрепляют пограничную структуру областей кристаллических фаз в зависимости от отсутствия или наличия пограничного слоя h-BN. В отсутствие промежуточного слоя h-BN образец показывает значительную трещиностойкость без видимых микротрещин вокруг отпечатка

вдавливания при 1300 °C (см. рис. 10, a). Это обусловлено максимальным укреплением структуры границ областей кристаллических фаз пограничными слоями твердых растворов W, Mo и Мо, W. Однако в присутствии пограничного слоя h-BN в образце заметно распространение микротрешины по относительно извилистой траектории с продвижением на небольшие расстояния с приостановлением продвижения микротрещин вокруг отпечатка вдавливания при 1500 °C (см. рис. 10, a_1). В данном случае траектории продвижения микротрещины соответственно связаны со смещением (см. рис. 10, a_{1-0}) и на некоторых участках с прерывистой разветвленностью микротрещины, формируя узкие и широкие мостики между микротрещинами, расположенными в поперечном и продольном направлениях относительно распространения микротрешин (см. рис. 10, a_{1-1}). Это обусловлено разными факторами: полидисперсным составом зерен кристаллических фаз (см. рис. 8), незначительным охрупчивающим эффектом пограничного слоя h-BN в сочетании с большим укрепляющим влиянием пограничных слоев твердых растворов W,Мо и Мо,W на структуру границ областей кристаллических

> «Мостик» посреди микротрещины

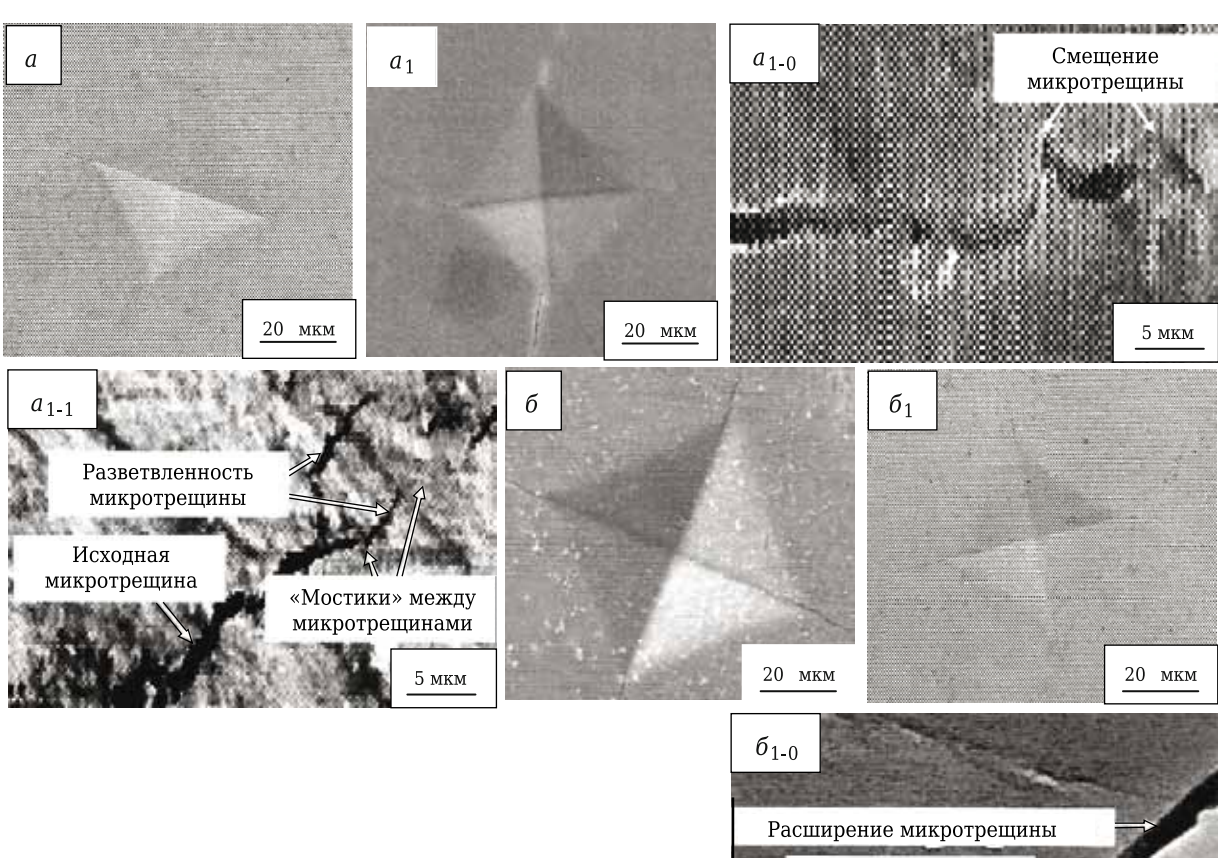


Рис. 10. Фото отпечатков вдавливания образцов при измерении HV, спеченных из составов M20Si₃N₄5BN20W20Mo35(60TiC-40ZrC) (a — при 1300 °C, a1 — при 1500 °C) и M20Si₃N₄5BN20Zr20Ti35(60TiC-40ZrC) (δ — при 1300 °C, δ 1 — при 1500 °C) с указанием траекторий распространения микротрещин в образцах при 1500 °C (a1-0, a1-1 и δ 1-0 соответственно)

№ 10 2020 **Hobbie Ofheytopbi** ISSN 1683-4518 **35**

фаз. Данные процессы обусловлены активным взаимодействием микротрещины с частицами и рассеиванием напряжений впереди распространяющихся микротрещин, нейтрализуя локальные области напряжений вокруг частиц, вдоль которых продвигаются микротрещины. Механизмы укрепления пограничной структуры, в частности прерывистая разветвленность микротрещины с образованием мостиков между микротрещинами при 1500 °C придает большую жесткость и упругие свойства пограничной структуре твердых растворов W,Мо и Мо,W улучшает сопротивление образца действию внешней нагрузки. Это объясняет немного больший прирост K_{Ic} по сравнению с увеличением HV образца со смесью W и Mo.

Образец со смесью Zr и Тi показывает неоднородное развитие физико-механических свойств, в частности плавное увеличение до 1400 °C и активное уменьшение в интервале 1400-1600 °C. Плавное увеличение физико-механических свойств связано с формированием α-Zr,Ti, α-Ti,Zr, укрепляющим эффектом в ходе фазового перехода менее плотных (тетрагональных) структур данных твердых растворов в более плотные (кубические) структуры β-Zr,Ti, β-Ti,Zr и кристаллического c-BN в твердой фазе (см. рис. 4, б), инициацией спекания порошка твердого раствора TiC-ZrC и относительно полидисперсным составом зерен кристаллических фаз при 1400 °C (см. рис. 8). Как результат, повышается трещиностойкость данного образца с извилистой траекторией распространения микротрещин вокруг отпечатка вдавливания при 1300 °C (см. рис. 10, б), наиболее укрепляющей пограничную структуру и в целом структуру образца. Однако активное уменьшение физико-механических свойств объясняется интенсивным твердофазным образованием кристаллической фазы β-Zr,Ti (см. рис. 4, б), вызывающим формирование слабо спекшихся, монолитных и плотных кристаллических формирований β -Zr,Ti (см. рис. 5, δ_3), значительный рост зерен β -Si₃N₄, c-BN, β -Ti,Zr и β -Zr,Ti с развитием монодисперсного состава зерен кристаллических фаз и снижением спекания порошка твердого раствора TiC-ZrC в интервале 1400-1600 °C (см. рис. 8). В результате активно образуются отдель-

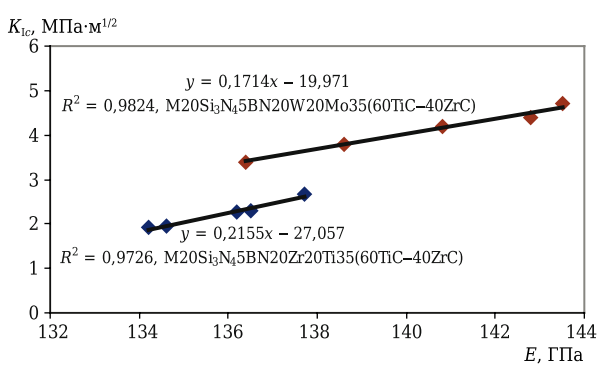


Рис. 11. Линейная корреляция E и $K_{\rm lc}$ образцов в интервале 1200–1600 °C

ный пограничный слой β-Zr,Ti плотной структуры и разной ширины, различно спекшиеся пограничные слои h-BN и β-Zr,Ti на границах областей безоксидных кристаллических фаз (см. рис. 6, $\delta_2 - \delta_5$). Менее плотный пограничный слой h-BN вызывает локальные напряжения, существенное охрупчивание в пограничном слое h-BN и на границах промежуточных слоев h-BN и β-Zr,Ti, инициируя образование микротрещин на данных участках. Как результат, снижается уплотнение и укрепление границ областей безоксидных кристаллических фаз. Данные процессы наиболее активны в случае широких пограничных слоев h-BN (см. рис. 6, δ_3 , δ_5), влияние которых в определенной степени усиливает менее плотно спекшаяся область (Zr,Ti)C (см. рис. 6, δ_3). В результате значительно снижается трещиностойкость данного образца с прямолинейной траекторией распространения микротрещин вокруг отпечатка вдавливания при 1500 °С (см. рис. 10, δ_1). При этом наблюдается расширение микротрещины в направлении от границ промежуточных слоев h-BN и β-Zr,Ti, т. е. мест локализации микротрещин, к областям безоксидных кристаллических фаз с расположенным в продольном направлении мостиком относительно распространения микротрещины (см. рис. 10, δ_{1-0}). Более узкая часть микротрещины связана с продвижением ее через менее широкие пограничные слои h-BN и β -Zr,Ti (см. рис. 6, δ_2 , δ_4), а расширение микротрещины вызвано ее распространением через более широкие пограничные слои h-BN и β -Zr,Ti (см. рис. 6, δ_3 , δ_5). Такой результат обусловлен разным развитием этих процессов на границах промежуточных слоев h-BN и β-Zr,Ti. Таким образом, данный мостик посреди микротрещины не замедляет, а ускоряет продвижение микротрещины (см. рис. 10, δ_{1-0}) и является местом инициации хрупкости на границах широких промежуточных слоев h-BN, β-Zr,Ti и областей безоксидных кристаллических фаз (см. рис. 6, δ_3 , δ_5). Такое распространение микротрещины обусловлено слабым и неравномерным взаимодействием микротрещины с частицами, неоднородным рассеиванием напряжений впереди продвигающихся микротрещин. В целом указанные процессы вызывают активное развитие хрупких и снижение упругих свойств структуры разной ширины пограничных слоев h-BN, β-Zr,Ti и областей безоксидных кристаллических фаз с уменьшением сопротивления образца действию внешней нагрузки.

Результаты линейной корреляции E и $K_{\rm Ic}$ спеченных образцов показаны на рис. 11. При сравнении показателей величины R^2 образцов со смесью W и Mo, Zr и Ti заметно незначительное различие данной величины (~0,01), которая больше в образце со смесью W и Mo. Одновременно отклонение линейной прямой относительно значений E и $K_{\rm Ic}$ образца со смесью W и Mo меньше по сравнению со смесью Zr и Ti в интервале 1200–1600 °C. Расположение линейных пря-

мых образцов относительно друг друга примерно схоже в интервале 1200-1600 °C.

Корреляция значений свойств образца со смесью W и Mo относительно линейной прямой более точная в интервале 1200-1400 °C по сравнению с менее точной корреляцией значений свойств при 1500 и 1600 °C. Данный результат до 1400 °C обусловлен стабильностью кристаллической фазы c-BN, равноинтенсивной и полной кристаллизацией твердых растворов Мо,W и W,Mo, примерно равной кристаллизацией (Zr,Ti)C и (Ti,Zr)C (см. рис. 4. а). Отклонение линейной прямой относительно значений свойств при 1500 и 1600 °C вызвано частичной фазовой трансформацией $c\text{-BN} \rightarrow h\text{-BN}$, меньшим структурированием и развитием (Zr,Ti)С по сравнению с более активным приростом (Ti,Zr)C (см. рис. 4, a). Данное искажение корреляций значений свойств относительно линейной прямой незначительно влияет на показатель величины R^2 образца. Это объясняется равномерно и плотно спекшейся микроструктурой керамической фазы (см. рис. 5, a_1), относительно равномерно и плотно спекшимися кристаллическими, примерно округлой формы частицами твердых растворов Мо,W и W,Mo (см. рис. 5, a_2), возрастанием спекания порошка твердого раствора TiC-ZrC и полидисперсным составом зерен кристаллических фаз (см. рис. 8), как результат, существенным укреплением границы областей кристаллических фаз с тонким пограничным слоем h-BN (см. рис. 6, a_1 , a_2 , a_4) и более узким промежуточным слоем твердого раствора W,Mo, содержащим отдельные прерывистые участки пограничного слоя твердого раствора Мо,W (см. рис. 6, a_3 , a_5), упрочняющие структуру через механизмы, развивающиеся в ходе распространяющихся микротрещин (см. рис. 10, a_{1-0} , a_{1} 1). Данные процессы повышают корреляционную точность значений E и $K_{\rm Ic}$ образца.

Отклонение линейной прямой относительно значений свойств образца со смесью Zr и Ti немного больше в интервале 1200-1400 °C в отличие от меньшего нарушения корелляции значений свойств относительно линейной прямой при 1500 и 1600 °C. Корреляционная точность значений свойств относительно линейной прямой до 1400 °C разная — больше при 1200 и 1300 °C, немного меньше при 1400 °C. С одной стороны, это связано с отсутствием фазовых трансформаций кристаллических фаз до 1400 °C, а, с другой стороны, объясняется инициацией фазовых переходов при 1400 °C, в частности c-BN $\rightarrow h$ -BN, α -Zr,Ti \rightarrow β -Zr,Ti, α -Ti,Zr \rightarrow β -Ti,Zr в твердой фазе (см. рис. 4, б), не влияющих на развитие физикомеханических свойств (см. рис. 9). Это связано с относительно полидисперсным составом зерен кристаллических фаз при 1400 °C (см. рис. 8). Корреляция значений свойств относительно линейной прямой при 1500 °C немного больше, чем при 1600 °C. В целом это объясняется развитыми кристаллическими фазами β-Si₃N₄, (Zr,Ti)C, (Ti,Zr)С и β-Zr,Ti (см. рис. 4, б), разным приростом зерен кристаллических фаз в монодисперсном составе зерен образца, который наименьший у зерен (Zr,Ti)С и (Ti,Zr)С (см. рис. 8), наличием узких пограничных слоев h-BN и β-Zr,Ti (см. рис. 6, $\delta - \delta_2$, δ_4), неоднородным расширением микротрещины через разной ширины промежуточные слои h-BN и β -Zr,Ti (см. рис. 10, δ_{1-0}). Снижение корреляционной точности значений E и K_{IC} относительно линейной прямой при 1600 °C вызвано возрастающим фазовым переходом $c\text{-BN} \rightarrow h\text{-BN}$, образующимися побочными кристаллическими фазами ZrB₂ и ZrN (см. рис. 4, б), формированием более монодисперсного состава зерен кристаллических фаз (см. рис. 8), образованием широких пограничных слоев h-BN и В-Zr.Ti с развитием микротрешин и возрастанием охрупчивания на границах данных промежуточных слоев образца (см. рис. 6, δ_3 , δ_5).

ЗАКЛЮЧЕНИЕ

Показано влияние смесей порошков W и Mo, Zr и Ti в сочетании со спеченным твердым раствором TiC–ZrC в ходе плазменно-искрового спекания составов при нагрузке прессования 60 МПа в интервале $1200-1600~^{\circ}$ C на фазовый состав, микроструктуру, размеры зерен кристаллических фаз, $\rho_{\text{отн}}$, Δl , физико-механические свойства, линейную корреляцию E и K_{Ic} образцов муллит– β -Si₃N₄-c-BN.

Синтезированные порошки β -Si₃N₄ и c-BN характеризуются интенсивной кристаллизацией β -Si₃N₄ и c-BN. Спеченный при 1800 °C плазменно-искровым способом твердый раствор TiC–ZrC показывает примерно равную кристаллизацию (Zr,Ti)C, (Ti,Zr)C и неоднородно спекшуюся кристаллическую микроструктуру.

Спеченные образцы со смесью W и Mo, Zr и Ti показывают интенсивную муллитизацию, активную кристаллизацию β -Si₃N₄, (Ti,Zr)C, твердых растворов Мо,W и W,Mo, β-Zr,Ti, меньшую кристаллизацию *c*-BN, (Zr,Ti)C, β-Ti,Zr в интервале 1200–1600 °C. Смесь W и Мо способствует формированию более равномерно и плотно спекшейся микроструктуры керамической фазы, примерно округлой формы частиц твердых растворов Mo,W и W,Mo в металлической фазе, более укрепленных границ областей керамической - металлической, металлических фаз и полидисперсного состава зерен кристаллических фаз в диапазоне 1400-1600 °C. В результате состав со смесью W и Мо спекается более равномерно и плавно, соответствующий образец показывает большие значения физикомеханических свойств, трещиностойкость и линейную корреляцию E и K_{Ic} в интервале 1200–1600 °C.

Библиографический список

1. **Hotta, M.** Densification and microstructure of Al_2O_3-c -BN composites prepared spark plasma sintering / M. Hotta, T.

 ${\it Goto}$ // J. Ceram. Soc. Jap. — 2008. — Vol. 116, № 6. — P. 744–748.

- 2. **Chakravarty, D.** Microstructure, mechanical properties and machining performance of spark plasma sintered Al_2O_3 – ZrO_2 –TiCN nanocomposites / D. Chakravarty, G. Sundararajan // J. Eur. Ceram. Soc. 2013. Vol. 33, N 13/14. P. 2597–2607.
- 3. **Hmelov, A. V.** Mullite–TiC–c-BN–c-ZrO $_2$ materials produced by spark-plasma sintering and their properties / A. V. Hmelov // Refract. Indust. Ceram. 2019. Vol. 60, No 1. P. 86–91.
- **Хмелёв, А. В.** Плазменно-искровое спекание смесей оксидного и безоксидного порошков с получением и изучением свойств муллит-TiC-c-BN-c- ZrO_2 материалов / A. B. Xмелёв // Новые огнеупоры. 2019. № 2. C. 23–29.
- 4. **Vedant, R.** Development of ZrB_2-B_4C-Mo ceramic matrix composite for high temperature applications / R. **Vedant** // A thesis submitted to National institute of technology Rourkela. 2014. P. 1–61.
- 5. **Balaji**, **V. S.** Densification and microstructural studies of titanium boron carbide (B_4C) powder mixture during spark plasma sintering / **V. S. Balaji**, **S. Kumaran** // Pow. Techn. 2014. Vol. 264, N 4. P. 536–540.
- 6. **Ren, X.** Spark plasma sintered WC-Ni carbides with various contents of ZrC nanopowder / X. Ren, Z. Peng, Y. Peng, C. Wang // Eng. Mat. 2014. Vol. 591, N 3. P. 75–78.
- 7. **Anupam, P.** Development of ZrB_2 –SiC–Ti by multi stage spark plasma sintering at 1600 °C / P. Anupam, M. Ragini, K. Nagarajan // J. Ceram. Soc. Jap. 2016. Vol. 124, № 4. P. 393–402.
- 8. *Hmelov, A. V.* Development of oxide-free oxide materials under spark-plasma sintering conditions of a mixture of oxide-free components and various metal powder additives / A. V. Hmelov // Refract. Indust. Ceram. 2020. Vol. 61, № 1. P. 73–81.

- **Хмелёв, А. В.** Разработка оксидно-безоксидных материалов в условиях плазменно-искрового спекания смеси безоксидных компонентов и добавки различного порошка металла / А. В. Хмелёв // Новые огнеупоры. 2020. № 2. С. 18-24.
- 9. **Hmelov, A. V.** Preparation of mullite–TiC–ZrC ceramic materials by a plasma-ARC method and their properties / A. V. Hmelov // Refract. Indust. Ceram. 2017. Vol. 57, \mathbb{N} 6. P. 645–650.
- **Хмелёв, А. В.** Получение муллит-TiC-ZrC керамических материалов плазменно-искровым методом и их свойства / A. B. Хмелёв // Новые огнеупоры. 2016. № 12. C. 36-41.
- 10. **Hmelov, A. V.** Strengthening oxide-oxide-free materials by incorporation of TiC-ZrC solid solutions into their structure during spark plasma sintering of initial powder mixtures under high compression load / A.V. Hmelov // Refract. Indust. Ceram. 2020. Vol. 60, № 5. P. 486–494.
- **Хмелёв. А. В.** Укрепление оксидно-безоксидных материалов внедрением в их структуру твердых растворов TiC-ZrC в ходе плазменно-искрового спекания исходных смесей порошков при высокой нагрузке прессования / $A. B. \, X$ мелёв // Новые огнеупоры. 2019. № 10. С. 18–26.
- 11. **Yung, D.-L.** Ultra high-pressure spark plasma sintered ZrC-Mo and ZrC-TiC composites / D.-L. Yung, S. Cygan, M. Antonov, L. Jaworska // Inter. J. Ref. Met. Hard Mater. 2016. Vol. 61, № 2. P. 201–206.
- 12. **Predel**, **B.** Phase equilibria, crystallographic and thermodynamic data of binary alloy's of Landolt–Bornstein group IV physical chemistry / B. Predel // Springer Materials. 1997. Vol. 5. P. 1, 2. ■

Получено 25.08.20 © А. В. Хмелёв, 2020 г.

НАУЧНО-ТЕХНИЧЕСКАЯ ИНФОРМАЦИЯ



IX Межвузовская конференция-конкурс «Физическая химия — основа новых технологий и материалов»

18 ноября 2020 г., Санкт-Петербург (издание включено в РИНЦ)

IX Межвузовская конференция-конкурс имени чл. корр. АН СССР А. А. Яковкина «Физическая химия — основа новых технологий и материалов» на лучшую научную работу студентов, обучающихся по химическим, химико-технологическим, биотехнологическим, биомедицинским, материаловедческим направлениям и специальностям имеет статус конференции-конкурса студентов высших учебных заведений России с международным участием.

Научные работы, представляемые на конкурс, должны быть экспериментального или теоретического характера в рамках тематики конкурса и соответствовать следующим секциям:



- Секция 1. Физико-химические аспекты разработки новых технологий
- Секция 2. Физическая химия в конструировании, синтезе и анализе материалов
- Секция 3. Физическая химия в медицине, фармакологии и биотехнологии
- Секция 4. Физико-химические аспекты развития зеленой энергетики
- Секция 5. Физико-химические аспекты безопасности атомной энергетики



При обращении к организаторам мероприятия обязательно ссылайтесь на сайт «Конференции.ru» как на источник информации. Последний день подачи заявки — 31 октября 2020 г.

Контактная информация: Еникеева Мария Олеговна https://yakovkin.technolog.edu.ru/ Эл. почта: yakovkin@technolog.edu.ru